

III-237 ORタイヤの駆動・制動時の摩耗機構について

愛媛大学工学部 学生員 ○ 豊 高 誠
愛媛大学工学部 正員 室 達朗

1. まえがき ダンプトラックタイヤの摩耗は駆動時・制動時に促進される。本研究では平坦地での1回の駆動または制動において、ビホだけタイヤが摩耗するのか、またその時、前輪と後輪ではどの様に違うかを、前輪及び後輪の摩耗仕事に注目して、自動車工学の理論より数値解析した結果を報告する。

2. 車両及び前後輪の運動 前後輪のスリップ率を次の様に定義した。前輪にについて、 $\mu > R_f w_f$ のとき $S_f = (v - R_f w_f) / v$, $v < R_f w_f$ のとき $S_f = (v - R_f w_f) / R_f w_f$ 。

後輪について、 $v > R_r w_r$ のとき $S_r = (v - R_r w_r) / v$, $v < R_r w_r$ のとき $S_r = (v - R_r w_r) / R_r w_r$ 。ただし、
 v : 車両速度, w_f, w_r : 前後輪回転角速度, R_f, R_r : 前後輪有効半径。またスリップ率 S と制動係数 M の関係は図1の様に、 $M = 0.72 \sin(9000 \cdot S / 360)$ で与えた。図2に示したダンプトラックの車両及び前後輪の運動方程式は以下の様になつた。

$$\frac{dv}{dt} = -g(M_f l_2 + M_r l_1) / l \{ 1 - (M_f - M_r) A / l \} \quad \dots (1)$$

$$d\omega_f/dt = \{ (M_f - M_r) R_f R_r + T_f \} / 2 I_f \quad \dots (2)$$

$$d\omega_r/dt = \{ (M_r - M_f) R_f R_r + T_r \} / (4 + k) I_r \quad \dots (3)$$

$$T_f = (\bar{w}_f/l) [l_2 + h(M_f l_2 + M_r l_1) / \{ 1 - (M_f - M_r) A / l \}] \quad \dots (4)$$

$$T_r = (\bar{w}_r/l) [l_1 - h(M_f l_2 + M_r l_1) / \{ 1 - (M_f - M_r) A / l \}] \quad \dots (5)$$

ただし、 g : 重力加速度, l_1, l_2 : 前後輪軸と車両重心との間の距離,

h : 地上からの重心高, \bar{w}_f, \bar{w}_r : 前後輪にかかる荷重,

A : 全車重量, T_f, T_r : 前後輪にかかるトルク, I_f, I_r : 前後輪の慣性モーメント, K_f : 後輪とヒヨコ回転子の部分の後輪の慣性率, M_f : ヒヨコ回転子の質量, $(1)(2)(3)$ 式で積分すれば v, w_f, w_r が求まるが、 M_f, M_r 及び S_f, S_r の関数であるため容易に積分できない。そこで本研究では時間 $t=0$ より $t=t_m$ まで駆動または制動するとき、 $t=t_m$ まで時間 t に分割して、あるトルクを与えた時の v, w_f, w_r を Runge-Kutta の積分により求めることに求め、同時に S_f, S_r, M_f, M_r の値も求めめた。その手順は図3に、使用したダンプトラック諸元は表1に示した。

3. 摩耗仕事 $i = 0, 1, 2 \cdots m$, $j = 1, 2, \cdots m$ とすると、 $t = t_{i-1} + \Delta t + t_j$ までの時間の摩耗仕事は、前輪(2輪), 後輪(4輪)について次の様に計算した。

前輪(摩耗仕事: $(AW)_{rf}$ とて)

$$v > R_f w_f のとき (AW)_{rf} = (M_{f,i-1} + M_{f,i}) (W_{f,i-1} + W_{f,i}) (S_{f,i-1} + S_{f,i}) (v_{f,i-1} + v_{f,i}) \Delta t / 16 \quad (6)$$

$$v < R_f w_f のとき (AW)_{rf} = (M_{f,i-1} + M_{f,i}) (W_{f,i-1} + W_{f,i}) (S_{f,i-1} + S_{f,i}) (w_{f,i-1} + w_{f,i}) \Delta t \cdot R_f / 16 \quad (7)$$

後輪(摩耗仕事: $(AW)_{rr}$ とて)

$$v > R_r w_r のとき (AW)_{rr} = (M_{r,i-1} + M_{r,i}) (W_{r,i-1} + W_{r,i}) (S_{r,i-1} + S_{r,i}) (v_{r,i-1} + v_{r,i}) \Delta t / 16 \quad (8)$$

$$v < R_r w_r のとき (AW)_{rr} = (M_{r,i-1} + M_{r,i}) (W_{r,i-1} + W_{r,i}) (S_{r,i-1} + S_{r,i}) (w_{r,i-1} + w_{r,i}) \Delta t \cdot R_r / 16 \quad (9)$$

従って1回の制・駆動時の摩耗仕事は、前輪: $\sum_{i=1}^m (AW)_{rf}$, 後輪: $\sum_{i=1}^m (AW)_{rr}$, である。

4. 等速運動 (1)(2)(3)式について $\frac{dv}{dt} = \frac{dw_f}{dt} = \frac{dw_r}{dt} = 0$ とおくと、3式より $M_f = M_r$,

$M_f = -M_r l_2 / l_1$ となる。これに表1の値を代入してみると、 $M_f = 0.02$, $M_r = -0.0197$ となり、それらに比例するスリッ

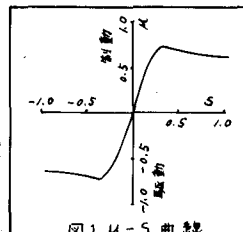


図1 $M-S$ 曲線

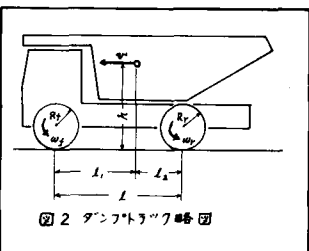


図2 ダンプトラック略図

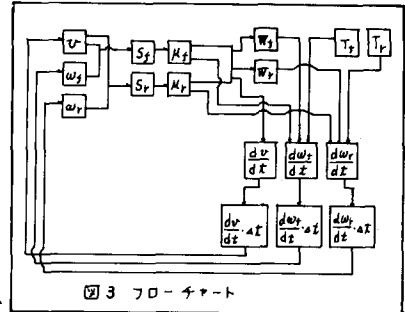


図3 フローチャート

| 項目 | 単位 | 数値 |
|------------|----------------|--------|
| l | m | 3.61 |
| l_1 | m | 1.82 |
| l_2 | m | 1.79 |
| h | m | 2.14 |
| W | kg | 32000 |
| $2I_f$ | kgm^2 | 135.56 |
| $(4+k)I_r$ | kgm^2 | 300.00 |
| R_f | m | 0.815 |
| R_r | m | 0.815 |
| M_f | | 0.02 |

γ は、 $S_g = 0.0060$, $S_r = -0.0059$ となる。この時の車両速度を v_0 とすれば、 $w_f = (1 - S_f) v_0 / R_f = 1.2196 v_0 \text{ rad/s}$, $w_r = v_0 / (1 + S_r) R_f = 1.2342 v_0 \text{ rad/s}$ となる。またこの時、後輪には $T_r = M_R w_f R_f = 521.6 \text{ kg}\cdot\text{m}$ のトルクがかかる。図 4。

5. 駆動時 初期状態として $v = 1.0 \text{ m/s}$ の等速運動を考えた。車両は最大加速度で加速する時、トルクと車両速度の関係は理論的には双曲線になる。図 4 の実験はあるダニットラックのトルクと車両速度の関係を示し

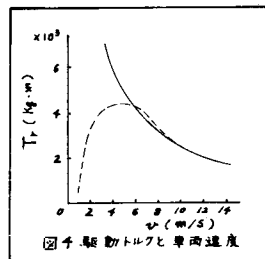


図 4 駆動トルクと車両速度

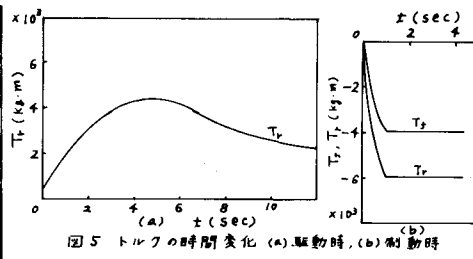


図 5 トルクの時間変化 (a) 駆動時, (b) 剣動時

である。本研究では、 v は未知数であり、トルクは時間の関数として与えられる。実際の様子とかけ離れたものである。ではどうなっているか。その目安として、この双曲線に合う様なトルクを与えようとした結果、図 5(a)に示すトルク

$$T_d = 208.1(t - 4.8)^2 + 5455.4 \text{ kg}\cdot\text{m} \quad (0 \leq t \leq 6.8 \text{ sec}) \quad \cdots \quad (10)$$

$$T_d = 6318.1 / \sqrt{t - 4} \text{ kg}\cdot\text{m} \quad (6.8 \leq t \text{ sec}) \quad \cdots \quad (11)$$

を与えたところ、図 4 の破線で示す様に現実にはほぼ近いものとなる。図 6(a), 図 7(a)はこのトルクを与えたときの車両速度と加速度の時間変化を示してある。

6. 剑動時 初期状態として ($v = 1.0 \text{ m/s}$) の等速運動を考えた。前後輪にかけたトルクは、図 5(b)の様である。

$$T_f = 4000(t - 1)^2 - 4000 \text{ kg}\cdot\text{m} \quad (0 \leq t \leq 1 \text{ sec}) \quad \cdots \quad (12)$$

$$T_f = 6000(t - 1)^2 - 6000 \text{ kg}\cdot\text{m} \quad (1 \leq t \leq 1 \text{ sec}) \quad \cdots \quad (13)$$

$$T_f = -4000 \text{ kg}\cdot\text{m} \quad (1 \leq t \text{ sec}) \quad \cdots \quad (14)$$

$$T_f = -6000 \text{ kg}\cdot\text{m} \quad (1 \leq t \text{ sec}) \quad \cdots \quad (15)$$

図 6(b), 図 7(b)はこの時の車両速度と加速度の時間変化である。

7. 結論 駆動時には、 $v-t$ 曲線は $T-f$ 曲線を積分したもので、後輪の初期半径と全車質量で割り、下曲線とあまり違わない。これは前輪のスリップ速度が等速状態とあまり違わないこと、後輪にあっても、スリップ率があまり大きくならないため $SIN\alpha - f$ で与えられることにより、スリップ速度がトルクと積分した関数にはほぼ比例して変化していくためではないかと思われる。最大加速度は最大トルクの点で与えられるが、摩擦係数の変化率の最大の点は最大トルクの点よりも少し後ろにある。剣動時ににおいては、トルクで 2 次関数で与えた区間の速度変化は 3 次関数に近く、一定トルクで与えた区間に一次関数に近くだが、 w_f, w_r の変化は複雑で、一定トルクに付く下降部分では急激に減少している。また、摩擦係数は剣動時に後輪の方が大きい。今後は種々のトルク変化に対する前後輪の摩擦係数を解析し、タイヤのレジリエンスとアグリビリティより摩擦量を推定していく予定である。

参考文献

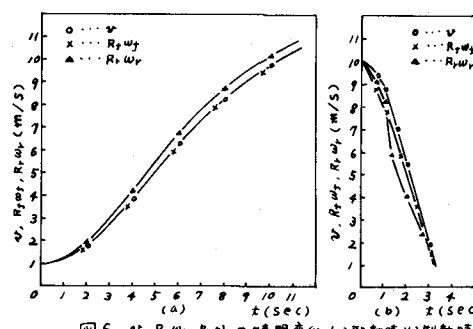


図 6 $v, R_f w_f, R_r w_r$ の時間変化 (a) 駆動時 (b) 剣動時

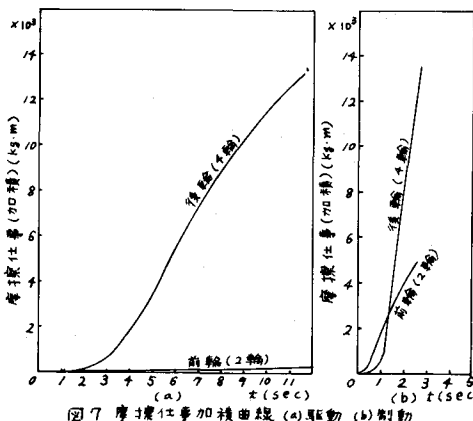


図 7 摩擦係数の時間変化 (a) 駆動 (b) 剣動

- 1) 富田治郎, 山崎裕司, 上田隆; OR タイヤに対する現地摩擦試験(第3報), 第34回国土工学会講演概要集III-217.
- 2) 平尾収, 亘理厚, 並藤政市, 山本峰雄; 理論自動車工学, 山海堂 1979.
- 3) A. SCHALLAMACH: Recent Advances in Knowledge of Rubber Friction and Tire Wear, R.C.T., 41, (1968) 209-244.